

# АЛГОРИТМЫ ПОИСКА РАССТОЯНИЙ ДО ОБЪЕКТНЫХ ПИКСЕЛОВ НА БИНАРНЫХ ИЗОБРАЖЕНИЯХ

Н.Л. Казанский, В.В. Мясников, Р.В. Хмелев  
Институт систем обработки изображений РАН

## Постановка задачи

Одной из важнейших задач обработки изображений является задача измерений на изображении [1], в частности, поиск расстояний между точками. Пусть есть бинарная картинка, значения 0 будем называть фоном, значения 1 – объектом. Необходимо для каждой фоновой точки найти расстояние (в пикселах) до ближайшей к ней объектной (будем называть это расстояние расстоянием привязки), и сделать это нужно, используя минимальное количество операций. Эта задача возникает, например, при сравнении с эталоном по отклонению контуров [2]. В данной статье описываются два алгоритма решения этой задачи.

## Рекурсивный алгоритм

### Простейший алгоритм

Рассмотрим простейший алгоритм поиска наиболее близкого объектного пиксела для текущего фоновой пиксела  $X$  (пример работы алгоритма на рис. 1). Итеративно сканируем периметры квадратов с длиной стороны  $2n+1$  (где  $n$  – номер итерации, начиная с 1); расстояние от точки  $X$  до стороны квадрата равно  $n$ . Квадрат расстояния от точки  $X$  до сканируемой объектной точки  $Y$  (рис. 1, справа) находится по формуле:  $r^2 = n^2 + m^2$ , где  $m$  – расстояние от середины стороны квадрата, на которой лежит точка  $Y$ , до самой точки  $Y$  (будем называть середину стороны квадрата «срединой точкой»). При этом  $m^2$  находится рекурсивно по следующим формулам:

- от угла до середины  
 $m_{i+1}^2 = (m_i - 1)^2 = m_i^2 - 2m_i + 1$ ;
- от середины до угла  
 $m_{i+1}^2 = (m_i + 1)^2 = m_i^2 + 2m_i + 1$ .

Сканирование сторон квадратов продолжается до тех пор, пока  $n^2$  не становится большим или равным минимуму из найденных квадратов расстояний.

### Сокращенное сканирование

Способ поиска, при котором периметр квадрата сканируется последовательно, не самый экономичный. На рис. 2 показан поиск объектной точки от срединной точки  $Z$  к краю для верхней стороны квадрата (сканирование нижней и боковых сторон происходит аналогично). Как только найдена объектная точка  $A$  на расстоянии  $m_1$  от  $Z$ , дальше в эту сторону сканировать не следует, так как расстояние от точки  $X$  при этом только увеличится. Аналогично просканируем в другую от  $Z$  сторону. Предположим, найдена точка  $B$  на расстоянии  $m_2$  от  $Z$ , и  $m_1 < m_2$ .

Из двух расстояний  $r_1 = \sqrt{n^2 + m_1^2}$  и  $r_2 = \sqrt{n^2 + m_2^2}$  предпочтительным является  $r_1$ . Таким образом, расстояние до ближайшего объектного пиксела на данной стороне квадрата находится по формуле

$$r = \sqrt{n^2 + (\min(m_1, m_2))^2}. \quad (1)$$

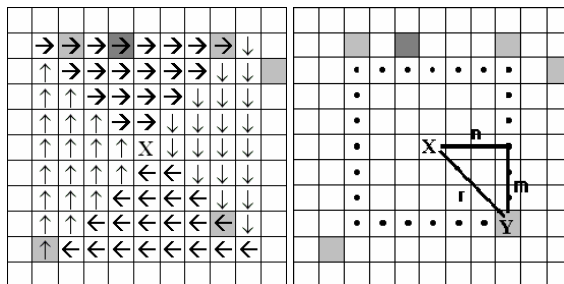


Рис. 1. Поиск объектной точки, ближайшей к фоновой точке  $X$ . Слева: сканирование границ квадратов вокруг точки  $X$  (стрелками указано направление обхода, серые точки – объектные, темная точка – ближайшая объектная к  $X$ ); справа: определение расстояния до объектной точки  $Y$  (точками указан периметр текущего квадрата,  $n$  – номер итерации,  $m$  – расстояние от середины стороны квадрата до точки  $Y$ ,  $r$  – расстояние между точками  $X$  и  $Y$ )

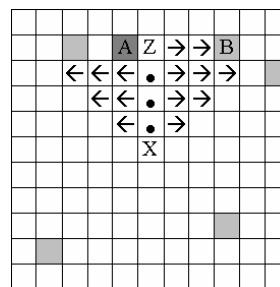


Рис. 2. Сокращенное сканирование верхней стороны квадрата от середины к краю

Выражение  $\min(m_1, m_2)$  есть расстояние от срединной точки  $Z$  до ближайшего к нему по горизонтали объектного пиксела  $A$ .

### Предварительный поиск привязки по горизонтали и вертикали

Теперь будем привязывать не один фоновый пиксел к объектному, а все. Применим сокращенный метод поиска ко всей картинке, при этом многие точки неоднократно становятся срединными точками для разных пикселей (рис. 3.).

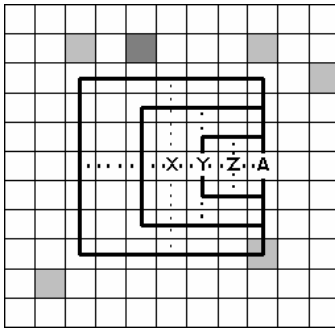


Рис. 3. При сканировании точка A является серединой для точек X,Y,Z

Чтобы пользоваться формулой (1), не прибегая к поиску  $\min(m_1, m_2)$ , каждый раз, когда точка становится серединой, предварительно просканируем картинку по горизонтали и вертикали и найдем для каждого фонового пиксела ближайший объектный в строке и столбце (рис. 4), при этом считаем, что за границами картинки фон (т.е. все пиксели привязываются к внутренним точкам картинки).

0	0	0	←1	←4	←9	0	0	0	∞	↓9	↓1
0	0	←1	←4	→1	0	0	0	↑1	∞	↓4	0
0	←1	←4	→4	→1	0	0	↑1	↓1	∞	↓1	0
→4	→1	0	←1	0	0	↑1	↑4	0	∞	0	0
∞	∞	∞	∞	∞	∞	↑4	↑9	↑1	∞	↑1	↑1

Рис. 4. Предварительная привязка фоновых пикселей к объектным. Числа в клетках равны квадратам расстояний до точек привязки, стрелки указывают направление привязки. Слева: привязка по горизонтали; справа: привязка по вертикали

Рассмотрим подробнее, как происходит сканирование строк (сканирование столбцов происходит аналогично). Объектные пиксели привязываются сами к себе и расстояние привязки для них равно нулю. Найдем непрерывный фрагмент фона в строке. Возможны четыре варианта ограничения фрагмента.

а) Фрагмент ограничен объектными пикселями с двух сторон. Тогда делим его пополам, левую часть привязываем к левому объектному пикселу, правую часть - к правому. Квадраты расстояний в каждом фрагменте рассчитываются рекурсивно без умножений по следующей формуле:

$$x_i^2 = (x_{i-1} + 1)^2 = x_{i-1}^2 + 2x_{i-1} + 1,$$

где  $x_i$  - расстояние привязки текущей точки,  $x_{i-1}$  - расстояние привязки предыдущей точки (левый фрагмент заполняется слева направо, правый - справа налево).

б) Фрагмент слева ограничен объектным пикселом, а справа - границей картинки. Тогда все пиксели фрагмента привязываются к левому объектному пикселу.

в) Фрагмент справа ограничен объектным пикселом, а слева - границей картинки (аналогично пункту б)).

г) Фрагмент справа и слева ограничен границей картинки. Пиксели фрагмента не могут быть к чему-либо привязаны и расстояние привязки для них считается равным бесконечности.

Теперь, когда для каждой точки известно расстояние привязки по горизонтали и вертикали, сканирование стороны квадрата не производится; вместо этого берется квадрат расстояния от середины до точки ее привязки (рис. 5) и прибавляется к квадрату номера итерации (он равен расстоянию от точки X до серединной точки). Затем следует сравнение полученного квадрата расстояния с текущим минимумом и т.д.

				←1			
				∞			
				∞			
				∞			
↓4	↑4	∞	↑4	X	∞	∞	↓3
				∞			
				∞			
				→3			
				←4			

Рис. 5. Сканирование середин сторон квадратов. Число - расстояние привязки пиксела, стрелка указывает направление привязки

### Использование предыдущих расстояний привязки для оценки текущего расстояния привязки

Посмотрим, как можно использовать расстояние привязки, полученное на предыдущем шаге, для нахождения текущего расстояния привязки. Пусть два соседних фоновых пиксела привязываются к разным объектным пикселам (рис. 6).

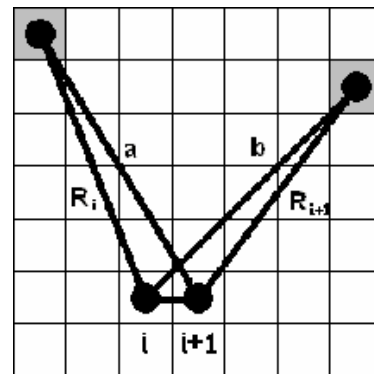


Рис. 6. Привязка двух соседних пикселей (с номерами i и i+1).  $R_i$  - расстояние привязки i-го фонового пиксела,  $R_{i+1}$  - расстояние привязки i+1 фонового пиксела

Запишем неравенства:

- $R_i \leq b$ ,  $R_{i+1} \leq a$ , поскольку  $R_i$  и  $R_{i+1}$  - расстояния до ближайших объектных пикселей для  $i$ -го и  $i+1$ -го пикселей соответственно;
  - $b \leq R_{i+1} + 1$ ,  $a \leq R_i + 1$  - из неравенства треугольников;
- следовательно  $R_i \leq R_{i+1} + 1$ ,  $R_{i+1} \leq R_i + 1$  и отсюда  $R_i - 1 \leq R_{i+1} \leq R_i + 1$ .

Таким образом, мы получили нижнюю и верхнюю оценку расстояния привязки для  $i+1$ -го фонового пикселя. Если  $i+1$ -ый фоновый пиксел привязывается к тому же объектному пикселу, что и предыдущий, то можно легко показать, что неравенство будет таким же. Покажем, как можно использовать это неравенство для уменьшения числа сканирований приблизительно в три раза.

Предположим, что мы сканируем середины сторон квадратов для  $i+1$ -го фонового пикселя, пусть  $n$  - номер итерации, на которой найден ближайший объектный пиксел,  $m$  - расстояние от середины стороны квадрата до ближайшего к ней объектного пикселя, тогда  $R_{i+1}^2 = n^2 + m^2$ . На рис. 7 показано, что один и тот же объектный пиксел  $Z$ , ближайший к текущей фоновой точке  $A$ , может быть найден двумя способами: при сканировании вверх от точки  $A$  (через точку  $B$ ) и при сканировании вправо от точки  $A$  (через точку  $C$ ).

Выберем тот способ, при котором выполняется  $n \geq m$  (т.е. при котором длина большего из катетов равна номеру итерации). Тогда  $\frac{R_{i+1}^2}{2} + \frac{R_{i+1}^2}{2} = n^2 + m^2$ ,

следовательно  $\frac{R_{i+1}}{\sqrt{2}} \leq n \leq R_{i+1}$ . Подставим в послед-

нее неравенство оценки  $R_{i+1}$ :  $\frac{R_i - 1}{\sqrt{2}} \leq n \leq R_i + 1$  или

приблизительно  $0.707(R_i - 1) \leq n \leq R_i + 1$ . Таким образом, можно найти расстояние до ближайшего объектного пикселя, проводя итерации только в указан-

ных пределах, что при больших  $R_i$  составляет приблизительно 30% исходного числа итераций.

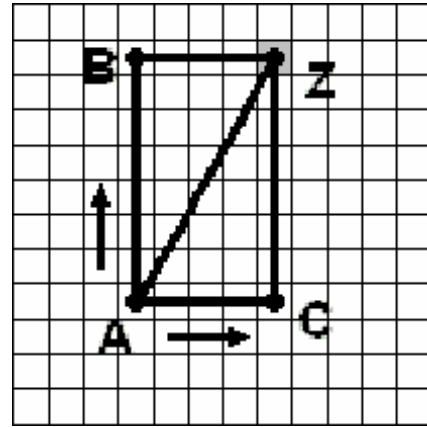


Рис. 7. Точка  $Z$  (ближайшая объектная для фоновой точки  $A$ ) может быть найдена при сканировании двумя способами: через точку  $B$  (при сканировании вверх от точки  $A$ ) и через точку  $C$  (при сканировании вправо от точки  $A$ )

Сравним этот метод поиска с простейшим алгоритмом по числу операций для конкретного пикселя. Если  $R$  - расстояние от текущего фонового пикселя до ближайшего объектного, то в простейшем алгоритме для поиска необходимо провести порядка  $R^2$  операций, а в последнем методе порядка  $4 \times 0,3R$  (сканирование в 4 стороны) плюс дополнительные операции на предварительную привязку по горизонтали и вертикали, вычислительная сложность которой линейно зависит от размеров картинки.

#### Использование предыдущих расстояний привязки для исключения лишних сканирований

Проанализируем, как еще можно использовать информацию, полученную на предыдущих шагах. Пусть найдены расстояния привязки для двух точек  $A$  и  $B$  выше текущей точки  $X$  и для двух точек  $C$  и  $D$  левее точки  $X$  (рис. 8а).

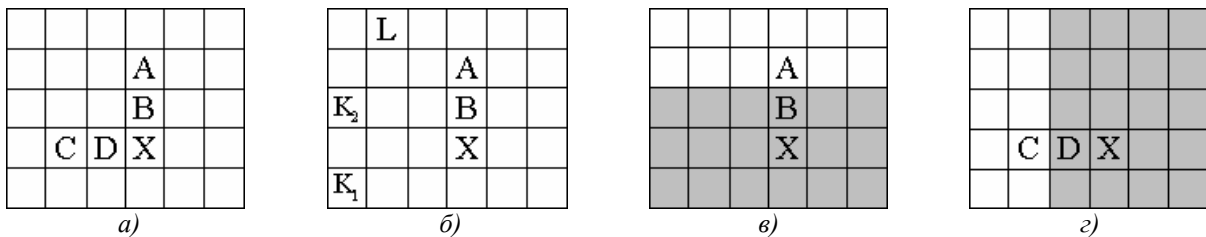


Рис. 8. а) Поиск расстояния привязки для точки  $X$ . На предыдущих шагах были найдены расстояния привязки до точек  $A, B, C$  и  $D$ . б) Иллюстрация к поиску точки привязки для  $X$  при  $R_A > R_B$ . в) Если  $R_A > R_B$ , то точка привязки для  $X$  лежит ниже точки  $A$  (в полуплоскости  $B$ , отмеченной серым). г) Если  $R_C > R_D$ , то точка привязки для  $X$  лежит правее точки  $C$  (в полуплоскости  $D$ , отмеченной серым).

Обозначим расстояния привязки для каждой точки соответственно  $R_A$ ,  $R_B$ ,  $R_C$ ,  $R_D$  и  $R_X$ . Очевидно, что любая объектная точка, лежащая в полуплоскости выше точки  $B$ , ближе к точке  $A$ , чем к точке  $B$  (обозначим эту полуплоскость  $A$ ). Анало-

гично, любая объектная точка, лежащая в полуплоскости ниже точки  $A$ , ближе к точке  $B$ , чем к точке  $A$  (обозначим эту полуплоскость  $B$ ). Аналогично, любая объектная точка, лежащая в полуплоскости ниже точки  $B$ , ближе к точке  $X$ , чем к точке  $B$  (обозна-

чим эту полуплоскость  $X$ ). Предположим, что  $R_A > R_B$  (рис. 8.б). Пусть объектная точка  $K$  является точкой привязки для  $B$ . Она обязана лежать в полуплоскости  $B$ , иначе  $R_A \leq AK < BK = R_B$ , что противоречит тому, что  $R_A > R_B$ . Докажем, что объектная точка, ближайшая к  $X$ , лежит в полуплоскости  $B$ . Предположим противное. Пусть объектная точка  $L$ , принадлежащая полуплоскости  $A$ , является ближайшей для  $X$ . Рассмотрим два варианта положения точки  $K$ .

1. Пусть точка  $K$  лежит в полуплоскости  $X$  (ниже точки  $B$ ), тогда  $XK < BK$ ,  $BK = R_B \leq BL$ ,  $BL < XL$ . Следовательно,  $XK < XL$ , т.е. точка  $L$  не является ближайшей объектной точкой для  $X$ .
2. Пусть точка  $K$  лежит на горизонтальной прямой, проходящей через точку  $B$ . Тогда  $BL^2 < XL^2 = R_X^2 \leq XK^2 = BK^2 + 1$ , т.е.  $BL^2 < BK^2 + 1$ . Отметим, что  $BL^2$  и  $BK^2$  – целые числа (поскольку координаты всех точек целые). Это означает, что  $BL^2 \leq BK^2$ , или  $BL \leq BK$ .  $R_A \leq AL < BL \leq BK = R_B$ , т.е.,  $R_A < R_B$ , что противоречит исходному условию (что  $R_A > R_B$ ).

Таким образом, доказано, что если выполняется условие  $R_A > R_B$ , то точка привязки для  $X$  лежит в полуплоскости ниже точки  $A$  (рис. 8в). Аналогично доказывается, что если выполняется условие  $R_C > R_D$ , то точка привязки для  $X$  лежит в полуплоскости правее точки  $C$  (рис. 8г). Используя эту информацию, можно исключить часть сканирований влево и вверх, что ускорит выполнение задачи. Насколько именно, зависит от структуры картинка (рис. 9).

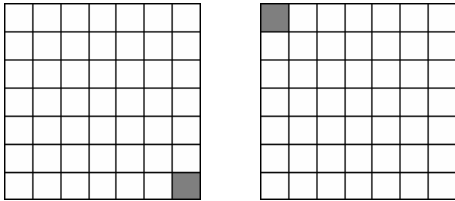


Рис. 9. Слева: точка в нижнем правом углу – для большинства точек не производится сканирование влево и вверх. Справа: точка в левом верхнем углу – для большинства точек производится сканирование во все стороны

Назовем вышеописанный алгоритм со всеми процедурами уменьшения числа операций рекурсивным алгоритмом поиска квадратов расстояний.

### Возвратный алгоритм

Сформулируем и исследуем еще один алгоритм. Его отличие от предыдущего заключается в том, что ищется только горизонтальная привязка (рис. 4, слева), сразу после этого начинается поиск квадратов расстояний. Предварительно докажем следующее утверждение.

Пусть в двумерном евклидовом пространстве заданы две точки  $A=(x_1, y_1)$  и  $B=(x_2, y_2)$ , причем  $y_1 < y_2$ , и вертикальная прямая  $x=x_0$ . На этой прямой лежит точка  $C$  с плавающей координатой  $y$  (рис. 10).

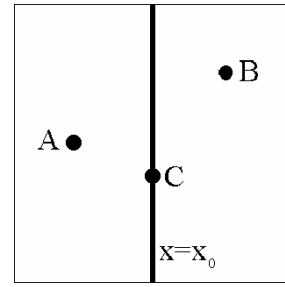


Рис. 10. Две точки и вертикальная прямая

Докажем, что существует некоторая координата  $y=y_0$ , такая что при  $y < y_0$   $AC < BC$ , при  $y > y_0$   $AC > BC$ .

$$AC^2 = \frac{(x_1 - x_0)^2}{\Delta \xi_0} + (y_1 - y)^2 = \Delta \xi_0^2 + y_1^2 - 2y_1y + y^2$$

$$BC^2 = \Delta \xi_0^2 + y_2^2 - 2y_2y + y^2$$

Запишем неравенство:

$$AC^2 < BC^2,$$

$$\Delta \xi_0^2 + y_1^2 - 2y_1y + y^2 < \Delta \xi_0^2 + y_2^2 - 2y_2y + y^2,$$

$$2y(y_2 - y_1) < \Delta \xi_0^2 + y_2^2 - \Delta \xi_0^2 - y_1^2,$$

$$y < \frac{\Delta \xi_0^2 + y_2^2 - \Delta \xi_0^2 - y_1^2}{2(y_2 - y_1)} = y_0.$$

Таким образом, искомая координата  $y_0$  найдена. Опишем поиск квадратов расстояний после того, как найдена горизонтальная привязка (рис. 11а).

Сканируем столбец сверху вниз. Выделим этапы сканирования.

1. Предварительно расстояния привязки в столбце устанавливаются равными расстояниям горизонтальной привязки.
2. Пропускаются точки, для которых горизонтальная привязка не найдена. Если пропущен до конца весь столбец, то переходим к сканированию снизу вверх. Если в столбце нет ни одной горизонтальной привязки, то на исходной картинке не было ни одной объектной точки.
3. Пусть найдена привязка по горизонтали к точке  $A$  (рис. 11б). Пробуем привязать к ней все точки в столбце, которые находятся ниже или на уровне ее. Для каждой точки привязка к  $A$  осуществляется, только если текущее расстояние привязки больше, чем расстояние до точки  $A$ . Процесс продолжается до тех пор, пока не будет найдено расстояние привязки по горизонтали не большее, чем текущее расстояние до точки  $A$  (найдена привязка к точке  $D$ ).
4. Из выше доказанного утверждения следует, что все точки в столбце ниже точки  $D$  ближе к  $D$ , чем к  $A$ , поэтому привязка к  $A$  заканчивается. Из того же

утверждения следует, что для точек  $A$  и  $B$  существует координата  $y_0$ , такая, что любая точка в текущем столбце с вертикальной координатой ниже  $y_0$  ближе к точке  $B$ , чем к точке  $A$ , поэтому необходимо вер-

нуться в строку с точкой  $B$  и попробовать найти лучшие расстояния привязки. Для этого возвращаемся на строку, следующую за строкой с точкой  $A$  и переходим к пункту 2.

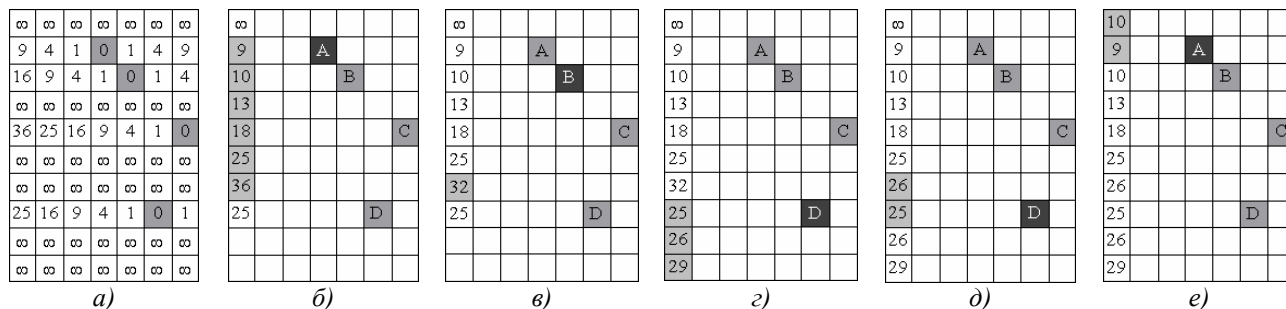


Рис. 11. Пример привязки столбца возвратным алгоритмом. Числа равны квадратам расстояний привязки. Горизонтальная привязка (а), сканирование вниз, привязка к точке  $A$  (б), сканирование вниз, привязка к точке  $B$  (в), сканирование вниз, привязка к точке  $D$  (г), сканирование вверх, привязка к точке  $D$  (д), сканирование вверх, привязка к точке  $A$  (е).

В пункте 2 не пропускается ни одной строки, затем находится горизонтальная привязка к точке  $B$ . Повторяем пункты 2, 3, 4 для точек  $B$  (рис. 11в),  $C$  (к ней не привязывается ни одной точки в текущем столбце) и  $D$  (рис. 11г) до тех пор, пока в пункте 2 не будет достигнут нижний конец столбца. После этого необходимо просканировать столбец снизу вверх, повторяя последовательно пункты 2, 3, 4 (рис. 11д, рис. 11е) затем перейти к следующему столбцу и так далее для всех столбцов.

Поскольку в данном алгоритме при сканировании постоянно приходится возвращаться назад, назовем его «возвратным алгоритмом».

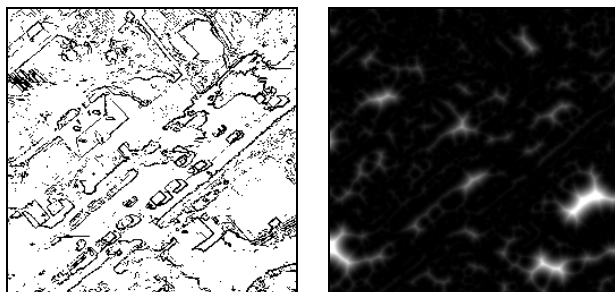
### Заключение

Очевидно, что структурно возвратный алгоритм намного проще рекурсивного, использует в два раза меньше памяти для хранения промежуточных данных (поскольку в рекурсивном алгоритме хранятся квадраты расстояний привязки по горизонтали и вертикали, а в возвратном – только по горизонтали) и не требует вычисления квадратного корня для каждой точки. Вычислительную сложность возврат-

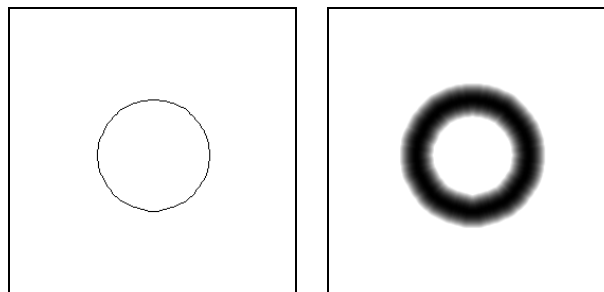
ного алгоритма однозначно оценить невозможно, однако очевидно, что он должен хорошо работать на разреженных картинках (тогда в пункте 2 пропускается много пикселей) и на картинках, где много вертикальных линий (вблизи них в пункте 3 повторных сканирований точек не производится). На рис. 12 приведены результаты сравнения работы алгоритмов по времени выполнения и среднему числу сканирований на точку на машине (РП-400, системная шина 100 МГц). На всех исследованных изображениях возвратный алгоритм показал лучшие результаты, чем рекурсивный.

### Литература

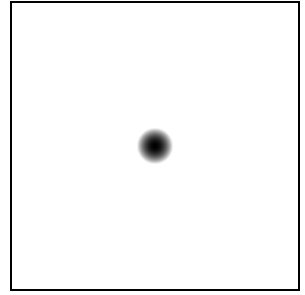
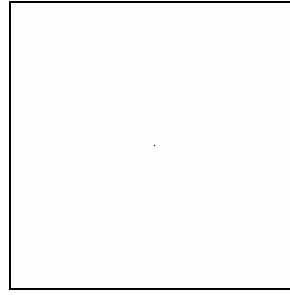
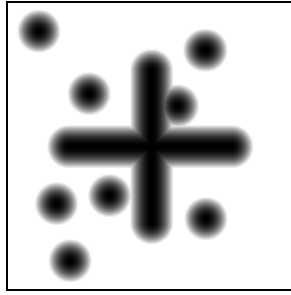
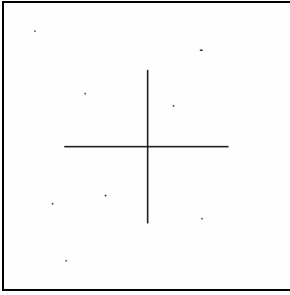
1. Сойфер В.А. Проблемы обработки изображений и компьютерной оптики. Стенограмма научного сообщения на заседании Президиума Российской академии наук 19.10.1999 // Компьютерная оптика, № 19, 1999, с. 6-20.
2. Казанский Н.Л., Хмелев. Р.В. Сравнение объекта и эталона по отклонению контуров // Компьютерная оптика № 20, 2000.



а) Контурное изображение снимка местности ( $256 \times 256$ ):  $\bar{n}_p = 10.42$ ,  $\bar{n}_e = 8.61$ ,  $\bar{R} = 2.66$ ,  $t_p = 0.055$ ,  $t_e = 0.036$



б) Круг ( $256 \times 256$ ):  $\bar{n}_p = 46.04$ ,  $\bar{n}_e = 21.43$ ,  $\bar{R} = 51.99$ ,  $t_p = 0.114$ ,  $t_e = 0.107$



в) Крест и несколько точек вокруг него ( $200 \times 200$ ):  
 $\bar{n}_p = 29.28$ ,  $\bar{n}_e = 7.16$ ,  $\bar{R} = 24.05$ ,  $t_p = 0.048$ ,  $t_e = 0.009$

г) Одна точка в центре ( $255 \times 255$ ):  $\bar{n}_p = 71.55$ ,  
 $\bar{n}_e = 4.99$ ,  $\bar{R} = 96.57$ ,  $t_p = 0.113$ ,  $t_e = 0.011$

Рис. 12. Примеры поиска квадратов расстояний. Слева: исходное изображение, справа: картинка квадратов расстояний (значения, большие или равные 255 показаны белым цветом).  $\bar{n}_p$  – среднее число сканирований на точку в рекурсивном алгоритме,  $\bar{n}_e$  – среднее число сканирований на точку в возвратном алгоритме,  $\bar{R}$  – среднее расстояние привязки,  $t_p$  – время работы рекурсивного алгоритма,  $t_e$  – время работы возвратного алгоритма.